

связано с наличием в кристаллах междоузельных атомов скандия. Аналогичные результаты были получены ранее при легировании CdTe другими примесями группы железа (V и Ni) [5, 6].

Таким образом, на основе проведенных в работе комплексных исследований низкотемпературных спектров поглощения, ФГТ и температурной зависимости темновой проводимости впервые для кристаллов CdTe и ZnTe установлена инверсия типа проводимости при введении в них скандия в больших концентрациях.

Авторы выражают благодарность И. А. Фарине за оказанную помощь при измерении спектров поглощения.

### Л и т е р а т у р а

- [1] Zunger A. // Sol. St. Phys. 1986. V. 39. P. 275—464.
- [2] Nobuhiro Gemma // J. Phys. C: Sol. St. Phys. 1984. V. 17. N 13. P. 2333—2356.
- [3] Godlewski M. // Acta Phys. Polon. 1985. V. 67. N 1. P. 39—42.
- [4] Suto K., Aoki M. // J. Soc. Japan. 1967. V. 22. N 1. P. 149—155.
- [5] Бабий И. И., Гаваленко Н. П., Скубенко Н. А., Олейник В. И. // ФТП. 1978. Т. 12. В. 11. С. 2202—2206.
- [6] Kaufman U., Windscheit J., Brunthaler G. // J. Phys. C: Sol. St. Phys. 1984. V. 17. N 34. P. 6169—6176.

Львовский государственный университет  
им. И. Франко

Получено 24.11.1987  
Принято к печати 7.12.1988

ФТП, том 23, вып. 4, 1989

## ФЛУКТУАЦИИ ДНА ЗОНЫ ПРОВОДИМОСТИ В ТВЕРДЫХ РАСТВОРАХ СВИНЕЦ—ОЛОВО—СЕЛЕН

Каширская Л. М., Кучеренко И. В., Свистов А. Е.

Твердые растворы типа  $A^{IV}B^{VI}$  характеризуются большими диэлектрическими проницаемостями и малыми эффективными массами, поэтому амплитуда флюктуаций в них, по ряду оценок, не превышает 3 мэВ [1]. Систематически влияния флюктуаций на гальваномагнитные свойства кристаллов  $A^{IV}B^{VI}$  ранее не исследовались. В работе [2] указывается, однако, что в сильно компенсированном

$PbS$  амплитуда флюктуаций  $\gamma \simeq 50 \pm 20$  мэВ.

В данной работе изучались кристаллы  $Pb_{1-x}Sn_xSe$ , в которых минимально достигаемая концентрация носителей составляет  $\sim 10^{17} \text{ см}^{-3}$ . При низкой температуре этой концентрации соответствует энергия Ферми  $E_F \sim 10$  мэВ. Поскольку флюктуации должны сказываться на явлениях переноса, когда  $E_F \simeq \gamma$ , мы уменьшили  $E_F$  до значений  $\sim \gamma$ .

Для изучения энергетической зависимости подвижности носителей  $\mu$  в области малых энергий  $E_F$  использовался метод гидростатического давления. Исследовались кристаллы с инвертированным спектром, поскольку в этом случае давление приводит к увеличению энергетической щели  $E_g$ , плотности состояний и уменьшению  $E_F$  до нескольких миллиэлектронвольт.

Параметры образцов приведены в таблице. Измерялись барические зависимости коэффициента Холла ( $R_H$ ) и проводимости ( $\sigma$ ) в интервале 0—26 кбар при  $4.2 \leq T \leq 300$  К. На рис. 1 представлены зависимости  $\mu$  от  $P$  при 4.2 К в кристаллах различного состава. Из рисунка видно, что  $\mu$  является функцией состава и давления. При изменении концентрации олова от 6 до 33 ат% подвиж-

Параметры исследованных  
образцов  $Pb_{1-x}Sn_xSe$

№ образца	$x$	$(n, p) \cdot 10^{-17}, \text{ см}^{-3} (4.2 \text{ К})$
1	0.06	3.67 (n)
2	0.15	5.7 (n)
3	0.20	5.2 (n)
4	0.33	5.2 (p)
5	0.33	24.4 (n)
6	0.31	4.3 (n)

742

ность электронов уменьшается в  $\sim 100$  раз в области малых давлений. Под действием давления  $\mu$  электронов уменьшается в несколько десятков раз. Интересно отметить, что  $\mu$  дырок (кривая 4) в интервале  $0 \leq P \leq 12.5$  кбар уменьшается всего в 3 раза.

Известно, что основным механизмом рассеяния в сплавах PbSnSe(Fe) при низкой температуре является рассеяние на апериодическом потенциале, связанным с заменой Pb на Sn [3, 4]. Исходя из этого, попытаемся объяснить всю совокупность экспериментальных результатов. Подвижность носителей при сплавном рассеянии в параболическом приближении равна

$$\mu = \frac{e\tau}{m^*} = \frac{e\hbar N}{m^*\pi^2(E_F)N_0x(1-x)\nu_{c,v}^2}. \quad (1)$$

Согласно [2, 4], учет непарараболичности закона дисперсии дает поправки  $\sim 1$ . Здесь  $N=4$  — число эллипсоидов,  $m^*$  — эффективная масса носителей,  $\rho(E_F)$  —

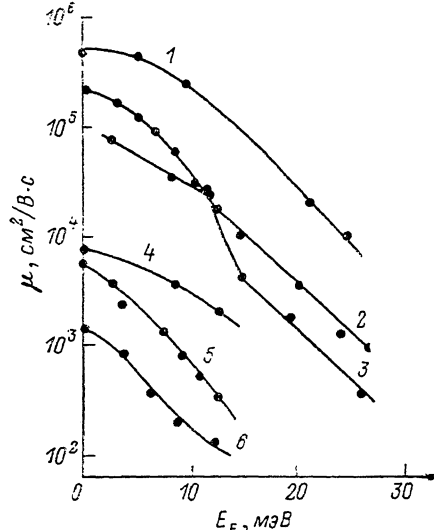


Рис. 1. Барические зависимости  $\mu$  в кристаллах  $n\text{-Pb}_{1-x}\text{Sn}_x\text{Se}$ .

Номера кривых соответствуют номерам образцов в таблице.

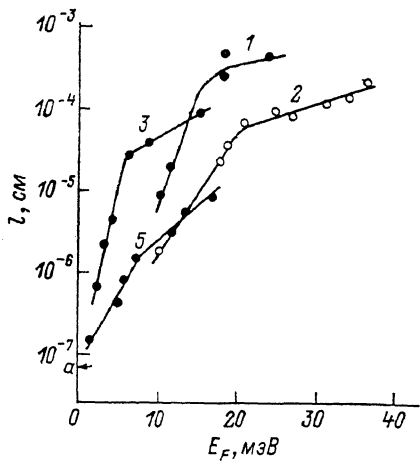


Рис. 2. Зависимости длины свободного пробега от  $E_F$  в  $n\text{-Pb}_{1-x}\text{Sn}_x\text{Se}$ .

Номера кривых соответствуют номерам образцов в таблице.

плотность состояний на  $E_F$ ,  $N_0$  — число атомов металла в единице объема,  $U_{c,v}$  — матричные элементы для зоны проводимости ( $c$ ) и валентной ( $v$ ).

Влияние давления на подвижность носителей тока проявляется через изменение величин  $m^*$  и  $\rho(E_F)$ , которые возрастают при увеличении  $E_F$ . Все исследуемые кристаллы при атмосферном давлении, за исключением  $x=0.06$ , характеризуются инверсным расположением зон при 4.2 К. Поэтому с ростом  $P$  щель  $E_c$  увеличивается, возрастают плотность состояний и эффективная масса носителей, а  $E_F$  приближается ко дну зоны. Как показали исследования эффекта Шубникова—де-Гааза, концентрация носителей изменяется под давлением незначительно. В кристалле с  $x=0.06$  аналогичные изменения происходят при  $P > 10$  кбар. Оказывается, что формула (1) хорошо объясняет результаты эксперимента только в области  $E_F > 10 \div 15$  мэВ, при меньших значениях  $E_F$  подвижность резко уменьшается при уменьшении  $E_F$ . Это особенно хорошо видно на зависимостях длины свободного пробега  $l$  от  $E_F$  (рис. 2). Длина свободного пробега в изотропном приближении вычислялась согласно выражению

$$l = v_F \tau = (3\pi^2)^{1/3} c / e^2 n^{2/3}. \quad (2)$$

Энергия Ферми рассчитывалась либо по шестизонной модели, либо в параболическом приближении  $E_F = (\hbar^2/2m^*)(3\pi^2n/4)^{1/3}$ , эффективные массы  $m^*$  и  $n$  определялись нами экспериментально из эффекта Шубникова—де-Гааза.

Точность расчета  $E_F$  составляла  $1\div 3$  мэВ. Из рис. 2 видно, что зависимости  $l(E_F)$  имеют излом при  $E_F \approx 7$  (кривые 3, 5) и  $E_F \approx 20$  мэВ (кривые 1, 2). До точки излома со стороны больших энергий  $l(E_F)$  хорошо описывается сплавным рассеянием. На основании экспериментальных значений  $\mu$ ,  $m^*$ ,  $x$  и расчетных значений  $\rho(E_F)$  был определен из формулы (1) матричный элемент  $U_c = (8 \pm 4) \cdot 10^{-35}$  эрг/см<sup>3</sup>, что близко к  $U_c$ , определенному в работе [4]. Таким образом, вся совокупность экспериментальных результатов показывает, что в области больших  $E_F$  сплавное рассеяние является доминирующим при гелиевой температуре.

Рассеяние на центральной части потенциала дефекта играет в сплавах меньшую роль, поскольку матричный элемент рассеяния близок по величине к  $U_c$  [5], но число дефектов на 2–3 порядка меньше, чем атомов металла.

За точкой излома  $l$  резко уменьшается и стремится к значению постоянной решетки  $a=6$  Å при  $E_F \rightarrow 0$ . Это свидетельствует о появлении дополнительного механизма рассеяния вблизи дна зоны проводимости. На кривых 3, 5 (рис. 2) точке излома соответствует  $E_F \approx 7$  мэВ. В этих кристаллах уровень дефекта расположен в запрещенной зоне во всем диапазоне давлений, и излом на  $l(E_F)$ , по всей вероятности, связан с рассеянием на флюктуациях дна зоны проводимости. Это предположение подтверждается изменением характера температурных зависимостей  $\sigma$  [6], возникающим при тех же значениях  $E_F$ , что и излом на кривых  $l(E_F)$ .

При малых давлениях в области низких температур ( $T \leq 20$  К)  $\sigma = \text{const}$ , с увеличением температуры  $\sigma$  уменьшается из-за рассеяния на фононах. Когда  $E_F \leq 5$  мэВ, характер  $\sigma(T)$  изменяется:  $\sigma$  возрастает с ростом  $T$  в интервале  $4.2\div 100$  К. Поскольку в области низких температур ( $2\div 10$  К) характерные для прыжковой проводимости экспоненциальные зависимости  $\sigma(1/T)$  не наблюдаются, следует заключить, что вплоть до  $E_F \approx 2$  мэВ электроны делокализованы и порог протекания расположен ниже этой энергии, но достаточно близко к  $E_F$ . С ростом  $T$  увеличивается концентрация электронов с энергией  $> 5$  мэВ, что приводит к уменьшению влияния флюктуаций на проводимость. Это и обуславливает увеличение  $\sigma$  при  $T > 20$  К.

В кристаллах с  $x=0.06$  и 0.15 (кривые 1, 2) изменение наклона  $l(E_F)$  происходит при большей энергии ( $E_F \sim 20$  мэВ). Это обусловлено тем, что в этих кристаллах при  $E \approx 10\div 20$  мэВ расположена гибридизованная с зоной проводимости полоса резонансных состояний [6, 7]. Рассеяние на этих состояниях и приводит к резкой зависимости  $l(E_F)$  в этом диапазоне энергий. При этом излом на  $l(E_F)$  не сопровождается изменением температурных зависимостей  $\sigma$ .

Таким образом, в данной работе показано, что в  $\text{Pb}_{1-x}\text{Sn}_x\text{Se}$  при 4.2 К и  $E_F > 5\div 7$  мэВ подвижность электронов определяется сплавным рассеянием, при меньших значениях  $E_F$  на нее существенное влияние оказывают флюктуации дна зоны проводимости.

#### Л и т е р а т у р а

- [1] Шкловский Б. И., Эфрос А. Л. Электронные свойства легированных полупроводников. М., 1979. 416 с.
- [2] Вейс А. Н., Кайданов В. И., Круницкая Р. Ю., Мельник Р. Б., Немов С. А. // ФТП. 1980. Т. 14. В. 12. С. 2349–2356.
- [3] Гурлева Е. А., Ефимова Б. А., Равич Ю. И. // ФТП. 1974. Т. 8. В. 7. С. 1261–1267.
- [4] Takita et al. // Phys. St. Sol. (b). 1977. V. 80. P. 149–158.
- [5] Martinez G. // Phys. Rev. B. 1973. V. 8. N 10. P. 4686–4692.
- [6] Ицкевич Е. С., Каширская Л. М., Панкратов О. А., Свистов А. Е., Шотов А. П. // Письма ЖЭТФ. 1986. Т. 92. В. 6. С. 303–306.
- [7] Копыловский Б. Д., Кучереенко И. В., Свистов А. Е. // ФТП. 1987. Т. 21. В. 11. С. 2049–2055.

Физический институт им. П. Н. Лебедева  
АН СССР  
Москва

Получено 4.08.1988  
Принято к печати 7.12.1988